

Ю.В. Стадник, Л.П. Ромака, А.М. Горинь, Ю.К. Гореленко, Н.О. Мельниченко

## Вплив сильного легування акцепторною домішкою Er на електричні властивості інтерметалічного напівпровідника n-ZrNiSn

Львівський національний університет імені Івана Франка,  
вул. Кирила і Мефодія, 6, 79005 Львів, Україна  
E-mail: gorelenko\_yuriy@franko.lviv.ua

Досліджено кристалічну структуру, температурні залежності питомого електроопору, коефіцієнта термо-ерс відносно міді для твердого розчину заміщення  $Zr_{1-x}Er_xNiSn$  (half-Heusler alloys) у температурному інтервалі 80-380 К. Встановлено, що атоми Ербію відіграють роль дефектів акцепторної природи при заміщенні атомів цирконію у сполуці ZrNiSn.

**Ключові слова:** напів-Гейслерові фази, інтерметалічний напівпровідник, акцепторна домішка, провідність, термо-ерс.

Стаття постуила до редакції 05.07.2009; прийнята до друку 15.12.2009.

### Вступ

У роботі наведено експериментальні результати дослідження впливу сильного легування акцепторною домішкою Er на електропровідність та термо-ерс напівпровідника n-ZrNiSn. Робота є логічним продовженням досліджень впливу сильного легування інтерметалічних напівпровідникових сполук зі структурою типу (СТ) MgAgAs (напів-Гейслерові фази) різного типу домішками з метою пошуку та оптимізації їх властивостей як термоелектричних матеріалів. Відомо, що серед напівпровідникових фаз, запропонованих для отримання термоелектричних матеріалів, чільне місце займають інтерметалічні напівпровідники СТ MgAgAs, зокрема сполука ZrNiSn [1-4].

Теоретичні розрахунки густини електронних станів та експериментальні дослідження кристалічної структури, електрокінетичних та магнітних характеристик потрібних інтерметалічних сполук СТ MgAgAs, у яких частково заміщено один із компонентів інтерметаліду, дозволили вперше визначити механізми електропровідності для цього класу напівпровідників у широкому концентраційному та температурному інтервалах, встановити роль домішкових зон у провідності даних напівпровідників, запропонувати моделі перебудови домішкових зон та означити умови досягнення максимальних значень коефіцієнта термоелектричної потужності  $Z^*$  ( $Z^* = \alpha^2/\rho$ , де  $\alpha$  – коефіцієнт термо-ерс,  $\rho$  – питомий електроопір) [5-7]. Визначення умов

досягнення максимальних значень коефіцієнта  $Z^*$  є надзвичайно актуальним з практичної точки зору, тому що цей клас напівпровідникових сполук є одним з найбільш перспективних для використання в якості активних елементів термоелектричних генераторів струму. В численних роботах доведено, що легування таких напівпровідників значними концентраціями заряджених домішок ( $10^{19}$ - $10^{21}$  см<sup>-3</sup>) збільшує величину термоелектричної добротності. Тому цікавим є дослідження впливу на фізичні властивості легування інтерметалічного напівпровідника ZrNiSn акцепторною домішкою, а саме, заміщення атомів Zr ( $4d^25s^2$ ) на атоми Er ( $4f^{12}6s^2$ ). Зважаючи на той факт, що в інтерметалічних сполуках рідкісноземельні елементи (R) виявляють головним чином валентний стан  $R^{+3}$ , таке заміщення ймовірно буде призводити до зміни знаку основних носіїв струму, а також до переходу провідності діелектрик-метал. У нашій роботі досліджено структурні характеристики, температурні залежності електропровідності та коефіцієнта термо-ерс твердого розчину заміщення  $Zr_{1-x}Er_xNiSn$ .

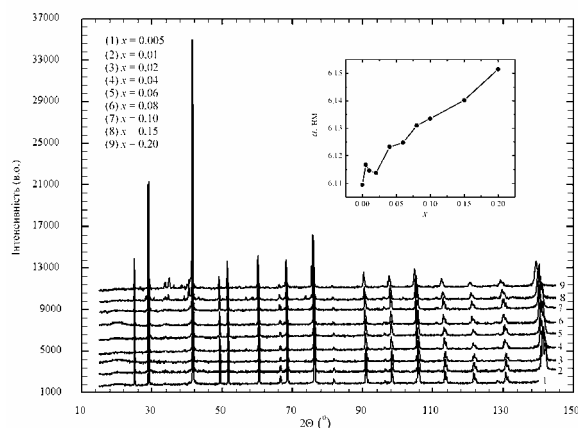
### I. Методика експерименту

Зразки сплавів твердого розчину  $Zr_{1-x}Er_xNiSn$  ( $x = 0-0,2$ ) виготовлено методом електродугового сплавлення вихідних компонентів в атмосфері очищеного аргону. Для приготування зразків використовували метали із вмістом основного компоненту (мас. %): Er – 99,9, Zr – 99,96, Ni – 99,99,

Sn – 99,999. Гомогенізуючий відпал провели у вакуумованих ампулах з кварцового скла при 800°C впродовж 1000 год. з наступним гартуванням у холодній воді. Рентгенофазовий та структурний аналізи сплавів виконано за дифрактограмами, одержаними на дифрактометрі HZG-4A (Cu K $\alpha$ -випромінювання). Параметри ґратки обчислено за допомогою комплексу програм CSD [8]. Питомий електроопір ( $\rho$ ), коефіцієнт термо-ерс ( $\alpha$ ) щодо міді поміряно в інтервалі температур 80-380 К. Методики вимірювань фізичних властивостей описано у роботі [9].

## II. Результати експерименту та їх обговорення

Рентгенофазовий та структурний аналізи досліджених зразків твердого розчину Zr<sub>1-x</sub>Er<sub>x</sub>NiSn виявили, що вони кристалізуються у СТ MgAgAs і є однофазними, крім сплавів складу Zr<sub>0,85</sub>Er<sub>0,15</sub>NiSn і



**Рис. 1.** Дифрактограми зразків твердого розчину Zr<sub>1-x</sub>Er<sub>x</sub>NiSn (на вставці показано залежність параметра ґратки від концентрації Er).

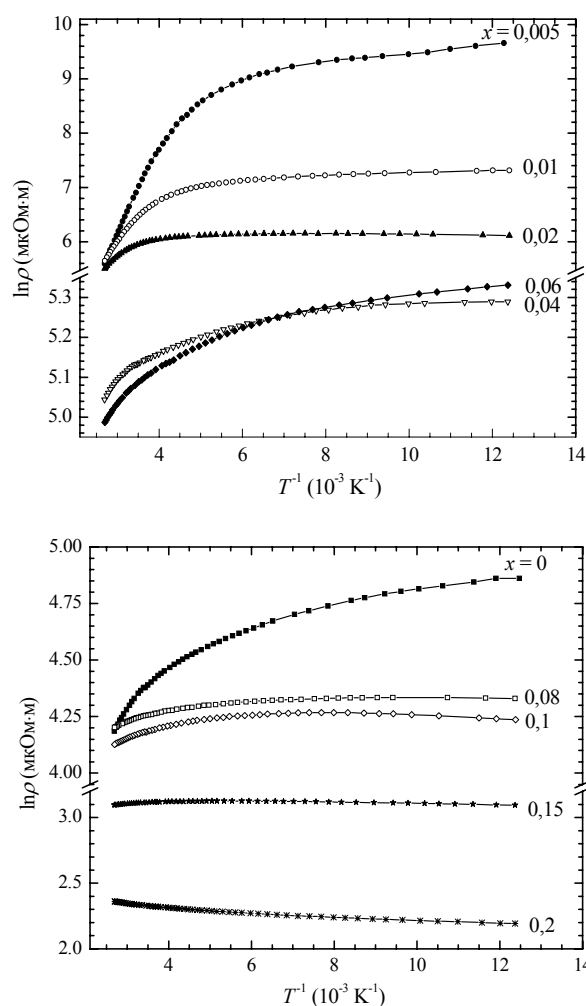
Zr<sub>0,80</sub>Er<sub>0,20</sub>NiSn (рис. 1), які містять незначні домішки іншої фази. Параметри ґратки усіх зразків визначено за даними дифрактометрії методом порошку і наведено в таблиці. Відсутність на всіх, крім двох означених вище сплавів, рентгеновських дифрактограмах Zr<sub>1-x</sub>Er<sub>x</sub>NiSn, брегівських відбиттів, які можна було би ідентифікувати як неконтрольовані домішки, дозволяє стверджувати, що атоми Ербію найбільш ймовірно заміщають у кристалічній решітці атоми Zr.

Як бачимо з таблиці і рис. 1, параметр елементарної комірки твердого розчину заміщення Zr<sub>1-x</sub>Er<sub>x</sub>NiSn монотонно зростає при заміщенні атомів меншого розміру ( $r_{Zr} = 0,160$  нм) на більші атоми ( $r_{Er} = 0,176$  нм). Однак, при малих концентраціях Er ( $x = 0,01$  та  $0,02$ ) наявне незначне зменшення параметра комірки, яке може бути пов'язане із заповненням дефектів структури вихідної сполуки (ZrNiSn). При уточненні кристалічної структури ZrNiSn встановлено, що вона є дефектною, зайнятість кристалографічних позицій атомів Zr і Ni

складає 90,0% і 91,6%, відповідно. Аналіз результатів отриманих при уточненні кристалічної структури кожного із зразків твердого розчину заміщення Zr<sub>1-x</sub>Er<sub>x</sub>NiSn може бути матеріалом наступної статті.

Враховуючи той факт, що Ербій у сплавах твердого розчину Zr<sub>1-x</sub>Er<sub>x</sub>NiSn є акцептором відносно Цирконію, а заміщення найбільш ймовірно відбувається саме в позиції атомів Цирконію, то з теорії напівпровідників випливає, що таке заміщення є рівнозначним уведенню в сполуку ZrNiSn акцепторної домішки. При цьому концентрація домішок акцепторної природи змінюється пропорційно до концентрації Ербію у Zr<sub>1-x</sub>Er<sub>x</sub>NiSn.

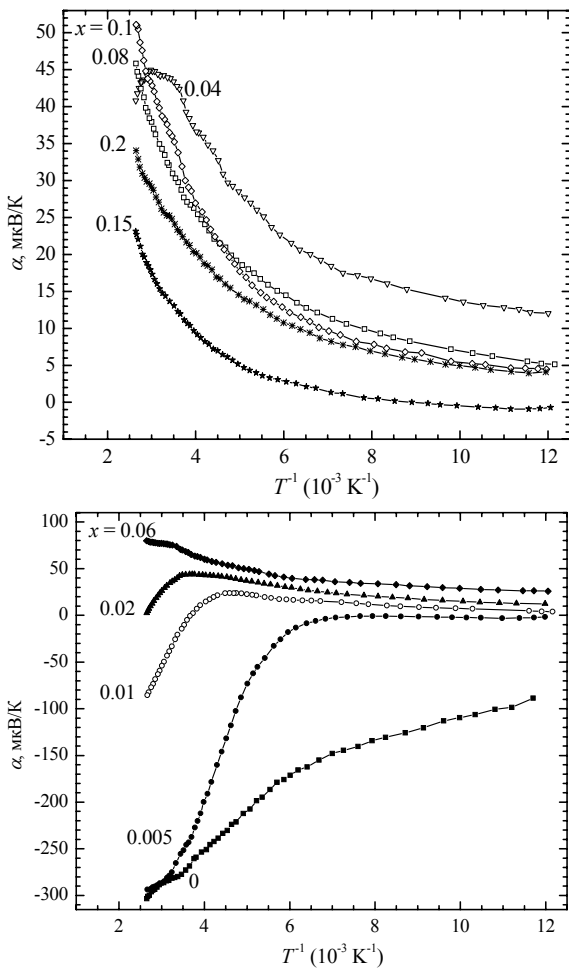
Температурні залежності питомого електроопору досліджених зразків Zr<sub>1-x</sub>Er<sub>x</sub>NiSn мають складний



**Рис. 2.** Температурні залежності питомого електроопору сплавів твердого розчину заміщення Zr<sub>1-x</sub>Er<sub>x</sub>NiSn.

характер, однак на залежностях  $\ln \rho(1/T)$  (рис. 2) ( $x = 0-0,15$ ) присутні високотемпературні активаційні ділянки, з яких розраховано енергії активації  $\varepsilon^p_1$  з рівня Фермі на рівень протікання (таблиця). Для зразків з концентраціями акцепторної домішки, що відповідають складам Zr<sub>1-x</sub>Er<sub>x</sub>NiSn, де  $x = 0, 0,005$  і  $0,01$  на залежностях  $\ln \rho(1/T)$  можна також виділити низькотемпературні активаційні ділянки, які можна

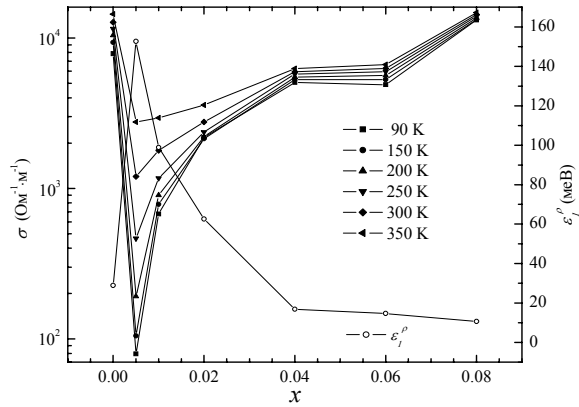
пояснити впливом стрибкової провідності у сплавах. З низькотемпературних активаційних ділянок на залежностях  $\ln\rho(1/T)$  визначено енергію стрибкової провідності  $\varepsilon^p_3$  (таблиця). В інших зразках з  $x = 0,02-0,20$  низькотемпературні ділянки відсутні, а питомий електроопір зростає з температурою, що характерно для металічного типу провідності та у випадку традиційних напівпровідників пов'язується, наприклад, з появою металічної провідності по домішкській зоні внаслідок переходу Мотта [10]. Висновок про напівпровідниковий характер провідності зразків  $Zr_{1-x}Er_xNiSn$  підтверджується також температурними залежностями коефіцієнта



**Рис. 3.** Температурні залежності коефіцієнта термо-ерс твердого розчину заміщення  $Zr_{1-x}Er_xNiSn$ .

термо-ерс (рис. 3), які за своїм виглядом, головним чином, відповідають залежностям  $\ln\rho(1/T)$ .

Відомо, що інтерметалічні напівпровідники СТ MgAgAs (TiNiSn, ZrNiSn і HfNiSn), (так звані напів-Гейслерові фази) належать до сильно легуваних і сильно компенсованих напівпровідників електронного типу провідності при температурах  $\geq 1,7K$ , незалежно від умов синтезу і режимів гомогенізації. Електронний тип провідності ZrNiSn визначається наявністю дефектів донорної природи, зумовлений (на наш погляд) технологією синтезу, яка



**Рис. 4.** Залежності провідності  $\sigma$  за різних температур та величини енергії активації  $\varepsilon^p_1$  від складу твердого розчину  $Zr_{1-x}Er_xNiSn$ .

полягає в електродуговому сплавленні вихідних компонентів і подальшим швидким неконтрольованим охолодженням сплавів, що ймовірно призводить до локальних розупорядкувань у кристалічній структурі злитка але зі збереженням дальнього порядку і, можливо, наявністю домішок донорної природи у вихідних компонентах. Отримання твердого розчину заміщення  $Zr_{1-x}Er_xNiSn$  адекватне введенню у напівпровідник дефектів акцепторної природи до певних концентрацій Ербію повинно збільшувати ступінь компенсації напівпровідника  $n$ -типу провідності (якщо вважати, що в усіх зразках концентрація неконтрольованих дефектів (домішок) однакова, оскільки умови синтезу і чистота вихідних компонентів однакова, а акцептори і донори іонізовані повністю). Більші кількості Ербій призводять до повної компенсації напівпровідника ( $N_A = N_D$ ), перекомпенсації матеріалу з  $n$ - на  $p$ -тип провідності, а потім – до зменшення ступеня компенсації уже напівпровідника  $p$ -типу провідності. Звернімо увагу на факт зміни знаку коефіцієнта термо-ерс з електронного на дірковий при концентрації акцепторної домішки для зразків  $Zr_{1-x}Er_xNiSn$  ( $x \geq 0,01$ ), що свідчить про перекомпенсацію напівпровідника. При концентраціях домішки Ербій ( $x = 0,005-0,01$ ) у  $Zr_{1-x}Er_xNiSn$  досягається повна компенсація сильнолегованого напівпровідника [11], рівень Фермі розміщується посередині забороненої зони, а величина енергії активації  $\varepsilon^p_1$  з рівня Фермі на рівень протікання при цьому повинна бути максимальною, про що свідчить і збіг максимального значення величини  $\varepsilon^p_1$  та мінімального значення провідності напівпровідника (рис. 4). Тобто при такій кількості Ербію ( $x = 0,005-0,01$ ) концентрації домішок акцепторної та донорної природи є приблизно однаковими, а ступінь компенсації напівпровідника є максимально високим.

Аналіз поведінки температурних залежностей  $\alpha$  (рис. 3) вказує та те, що перекомпенсація напівпровідника також залежить і від температури. Тенденція до зміни знаку термо-ерс спостерігається вже при найменшому легуванні ( $x = 0,005-0,01$ ), а при

Таблиця

Кристалграфічні, електрофізичні та енергетичні характеристики сплавів  
твердого розчину  $Zr_{1-x}Er_xNiSn$ 

Сплав	$a$ , нм	$\alpha$ , мкВ/К		$\rho$ , мкОм·м		$\varepsilon_1^p$ , меВ	$\varepsilon_3^p$ , меВ
		90 К	300 К	90 К	300 К		
ZrNiSn	0,61094(1)	-98,3	-279,8	126,3	78,6	28,9	1,6
Zr <sub>0,995</sub> Er <sub>0,005</sub> NiSn	0,61180(1)	-1,8	-265,5	14989,4	868,9	152,7	3,9
Zr <sub>0,99</sub> Er <sub>0,01</sub> NiSn	0,61170(3)	5,7	-24,7	1468,9	560,7	98,8	1,6
Zr <sub>0,98</sub> Er <sub>0,02</sub> NiSn	0,61165(3)	13,1	38,7	459,8	364,3	62,6	-
Zr <sub>0,96</sub> Er <sub>0,04</sub> NiSn	0,61238(4)	12,7	44,1	198,0	168,5	16,9	-
Zr <sub>0,94</sub> Er <sub>0,06</sub> NiSn	0,61243(3)	27,1	73,9	204,0	159,6	14,7	-
Zr <sub>0,92</sub> Er <sub>0,08</sub> NiSn	0,61316(2)	5,9	32,9	76,2	70,1	10,7	-
Zr <sub>0,90</sub> Er <sub>0,10</sub> NiSn	0,61347(3)	4,9	37,9	69,9	65,2	7,3	-
Zr <sub>0,85</sub> Er <sub>0,15</sub> NiSn	0,61402(1)	-0,7	14,4	22,2	22,5	2,7	-
Zr <sub>0,80</sub> Er <sub>0,20</sub> NiSn	0,61515(1)	4,3	25,8	9,1	10,3	-	-

$x = 0,02$  додатній знак коефіцієнта термо-ерс зберігається в усьому температурному інтервалі. При концентраціях акцепторної домішки  $x \geq 0,02$ ,  $N_A > N_D$ , отримуємо сильно легований і сильно компенсований напівпровідник  $p$ -типу провідності. Більші концентрації домішки акцепторної природи (Ер) лише понижуватимуть ступінь компенсації напівпровідника, а рівень Фермі буде зсуватись у бік валентної зони з подальшим дрейфом у зоні неперервних енергій, про що також свідчить зменшення величини  $\varepsilon_1^p$  (таблиця, рис. 4), а також металічний тип залежності  $\ln\rho(1/T)$  при  $x = 0,2$  (рис. 2). Отже, як і у випадках легування напівпровідника  $p$ -TiCoSb донорною домішкою Нікелю [12] або легування  $n$ -ZrNiSn акцепторною домішкою Скандію [6], у  $Zr_{1-x}Er_xNiSn$  також реалізується перехід Андерсона, який настає тоді, коли склад твердого розчину змінюється так, що величина  $E_V - E_F = \Delta E$  змінює знак [13]. Дійсно, за низьких температур  $Zr_{1-x}Er_xNiSn$  ( $x = 0$ ) є компенсованим напівпровідником електронного типу

провідності, а рівень Фермі фіксується у домішковій донорній зоні. При  $0,02 \leq x \leq 0,15$  рівень Фермі розміщується біля вершини валентної зони,  $(E_V - E_F) < 0$ . У  $Zr_{1-x}Er_xNiSn$  при  $x > 0,20$  провідність визначають вільні дірки валентної зони, рівень Фермі розташовується у валентній зоні і  $(E_V - E_F) > 0$ . Отже, легування напівпровідника ZrNiSn акцепторною домішкою Ербію призводить до зміни знаку основних носіїв струму та переходу провідності ізолятор-метал.

Робота виконана в рамках гранту Міністерства освіти і науки України № ДР 0109U002069.

Стадник Ю.В. – к.х.н., ст.н.сп., пров.н.сп.;  
Ромака Л.П. – к.х.н., ст.н.сп., пров.н.сп.;  
Горинь А.М. – к.х.н., н.сп.;  
Гореленко Ю.К. – ст.н.сп.;  
Мельниченко Н.О. – к.х.н., м.н.с.

- [1] R.V. Skolozdra, Yu.V. Stadnyk, L.P. Romaka, F.G. Aliev. Intermetallic compounds Me'Me''Sn – the new semiconductors class with the narrow energy gap // *J. Thermoelectricity*, **3**, pp. 29-47 (1994).
- [2] Yu.V. Stadnyk, L.P. Romaka, A.M. Goryn, Yu.K. Gorelenko, J. Pierre, R.V. Skolozdra. Solid solutions  $ZrNi_{1-x}M_xSn$  ( $M = Cr, Mn, Cu$ ) and their electrical and magnetic properties // *J. Alloys Compd.*, **262-263**, pp. 476-480 (1997).
- [3] Q. Shen, L. Chen, T. Goto, T. Hirai, J. Yang, G.P. Meisner, C. Uger. Effects of substitution of Ni by Pd on the thermoelectric properties of ZrNiSn-based half-Heusler compounds // *Applied Physics Letters*, **79**(25), pp. 4165-4167 (2001).
- [4] S. Katsuyama, H. Matsushima, M. Ito. Effects of substitution for Ni by Co and/or Cu on the thermoelectric properties of half-Heusler ZrNiSn // *J. Alloys Compd.*, **385**, pp. 232-237 (2004).
- [5] О.І. Бодак, В.А. Ромака, Ю.К. Гореленко, М.Г. Шеляпина, Ю.В. Стадник, Л.П. Ромака, В.Ф. Чекурін, Д. Фрушарт, А.М. Горинь. Умови виникнення максимальної термоелектричної потужності в інтерметалічних напівпровідниках структурного типу MgAgAs // *ФХТТ*, **7**(1), сс. 76-81 (2006).
- [6] Yu. Stadnyk, V.A. Romaka, Yu. Gorelenko, L.P. Romaka, D. Fruchart, V.F. Chekurin. Metal-insulator transition induced by changes in composition in the  $Zr_{1-x}Sc_xNiSn$  solid solution // *J. Alloys Compd.*, **400**, pp. 29-32 (2005).
- [7] В.А. Ромака, Ю.В. Стадник, М.Г. Шеляпина, Д. Фрушарт, В.Ф. Чекурин, Л.П. Ромака, Ю.К. Гореленко. Особенности перехода проводимости металл-диэлектрик в узкощелевых полупроводниках структурного типа MgAgAs // *ФТП*, **40**(2), сс. 136-141 (2006).
- [8] L.G. Akselrud, Yu.N. Grin, P.Yu. Zavalii et al. CSD – universal program package for single crystal or powder structure data treatment // *Coll. Abstr. 12 Eur. Crystallogr. Meeting*. Nauka, Moscow. **3**, p. 155 (1989).

- [9] Ю.К. Гореленко, Р.Є. Гладишевський, Ю.В. Стадник та ін. *Методичні вказівки до виконання лабораторних робіт із спекурсів “Електричні та магнітні властивості неорганічних матеріалів” і “Сучасні неорганічні матеріали”* ВЦ ЛНУ ім. І.Франка, Львів.. 30 с. (2008).
- [10] Н. Мотт, Э. Девис. *Электронные процессы в некристаллических веществах* (М., Мир, 1982) [Пер. с англ.: N.F.Mott, E.A.Devis, *Electron processes in non-crystalline materials* (Oxford, Clarendon Press, 1979)]
- [11] Б.И. Шкловский, А.Л. Эфрос Полностью компенсированный кристаллический полупроводник как модель аморфного полупроводника // *ЖЭТФ*, **62**(3), сс. 1156-1165 (1972).
- [12] Yu. Stadnyk, V.A. Romaka, M. Shelyapina et al. Impurity band effect on  $\text{TiCo}_{1-x}\text{Ni}_x\text{Sb}$  conduction: Donor impurities // *J. Alloys Compd.*, **421**, pp. 19-23 (2006).
- [13] Б.И. Шкловский, А.Л. Эфрос. *Электронные свойства легированных полупроводников*. Наука, М. 416 с. (1979).

Yu.V. Stadnyk, L.P. Romaka, A.M. Goryn', Yu.K. Gorelenko, N.O. Melnychenko

## Effect of Heavily Doping by Er Acceptor Impurity on Electrical Properties of n-ZrNiSn Intermetallic Semiconductor

*Ivan Franko National University of Lviv, Kyryl & Mepodiy Str., 6, 79005, Lviv, Ukraine*

The crystal structure, temperature dependences of the resistivity, and thermopower, in reference to the pure copper, for the  $\text{Zr}_{1-x}\text{Er}_x\text{NiSn}$  substituting solid solution (so called half-Heusler alloys) in a temperature range 80 – 380 K were investigated. It was determined that the Erbium atoms behaved as acceptor-like defects while Zirconium atoms were substituted in the ZrNiSn compound.

**Key words:** half-Heusler phases, intermetallic semiconductor, acceptor impurity, electro-conductivity, thermopower